

## 补充材料

### 基于 MXene 涂层保护 Cs<sub>3</sub>Sb 异质结光阴极材料的计算筛选\*

白亮<sup>1)</sup> 赵启旭<sup>1)</sup> 沈健伟<sup>1)</sup> 杨岩<sup>1)</sup> 袁清红<sup>1)</sup>

钟成<sup>2)</sup> 孙海涛<sup>1)3)†</sup> 孙真荣<sup>1)3)†</sup>

1) (华东师范大学, 精密光谱科学与技术国家重点实验室, 上海 200241)

2) (武汉大学, 化学与分子科学学院, 武汉 430072)

3) (山西大学, 极端光学协同创新中心, 太原 030006)

图 S1—S7 分别为  $M_2CF_2/M_2CF_2-Cs_3Sb$ ,  $M_2CO_2/M_2CO_2-Cs_3Sb$ ,  $M_2C(OH)_2/M_2C(OH)_2-Cs_3Sb$ ,  $M_2CCl_2/M_2CCl_2-Cs_3Sb$ ,  $M_2CS_2/M_2CS_2-Cs_3Sb$ ,  $M_2C(OCH_3)_2/M_2C(OCH_3)_2-Cs_3Sb$ ,  $M_2C(NH)_2/M_2C(NH)_2-Cs_3Sb$  结构的功函数随原子序数变化示意图。图 S8 为  $Nb_{n+1}C_nT_2$  ( $n = 1, 3, 4$ ) 结构和  $Nb_{n+1}C_nT_2-Cs_3Sb$  异质结结构的功函数随 Nb/C 原子比例变化示意图。图 S9 为  $Ta_{n+1}C_nT_2$  ( $n = 1, 2, 3$ ) 结构和  $Ta_{n+1}C_nT_2-Cs_3Sb$  异质结结构的功函数随 Ta/C 原子比例变化示意图。图 S10 为  $Ti_{n+1}C_nT_2$  ( $n = 1, 2, 3, 4$ ) 结构和  $Ti_{n+1}C_nT_2-Cs_3Sb$  异质结结构的功函数随 Ti/C 原子比例变化图。图 S11 为  $M_2CT_2$  结构的功函数随金属 M 原子变化示意图。图 S12 为  $M_2CT_2-Cs_3Sb$  结构的功函数随  $M_2CT_2$  结构功函数的变化示意图。图 S13 为  $M_2CT_2-Cs_3Sb$  结构的功函数随  $M_2CT_2$  结构的电离能(IP)变化示意图。图 14 为  $V_2C-Cs_3Sb$  异质结的差分电荷密度图和能级校正分析示意图, 等值面设为  $0.001 e/bohr^3$ 。图 15 为  $V_2CO_2-Cs_3Sb$  异质结的差分电荷密度图和能级校正分析示意图 (等值面设为  $0.003 e/bohr^3$ )。图 16 为  $V_2CCl_2-Cs_3Sb$  异质结的差分电荷密度图和能级校正分析示意图 (等值面设为  $0.001 e/bohr^3$ )。图 17 为  $V_2CS_2-Cs_3Sb$  异质结的差分电荷密度图和能级校正分析示意图 (等值面设为  $0.0015 e/bohr^3$ )。图 18 为  $V_2C(OCH_3)_2-Cs_3Sb$  异质结的差分电荷密度图和能级校正分析示意图 (等值面设为  $0.002 e/bohr^3$ )。图 S19 为  $V_2C(NH)_2-Cs_3Sb$  异质结的差分电荷密度图和能级校正分析示意图 (等值面设为  $0.0015 e/bohr^3$ )。

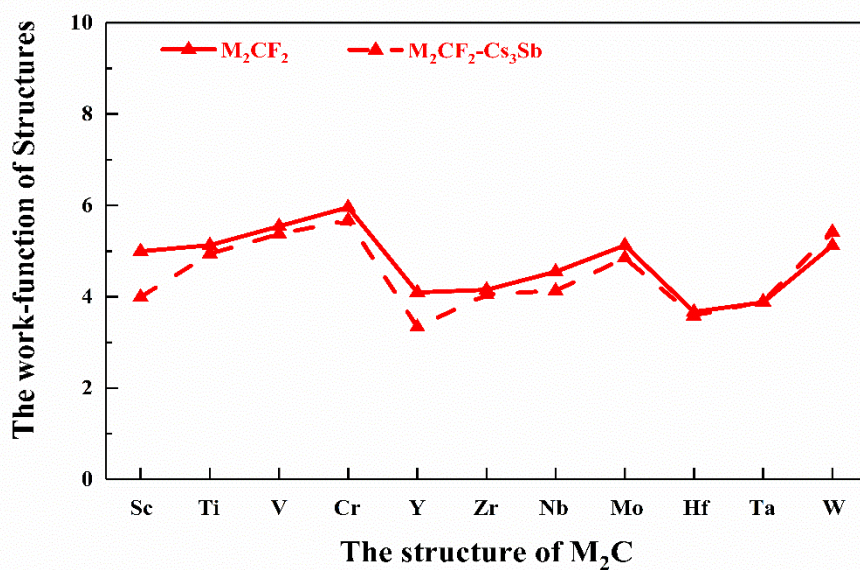


图 S1 M<sub>2</sub>CF<sub>2</sub>/M<sub>2</sub>CF<sub>2</sub>-Cs<sub>3</sub>Sb结构的功函数随原子序数变化图

Fig. S1. Work-function of M<sub>2</sub>CF<sub>2</sub> and M<sub>2</sub>CF<sub>2</sub>-Cs<sub>3</sub>Sb structure vary with element number.

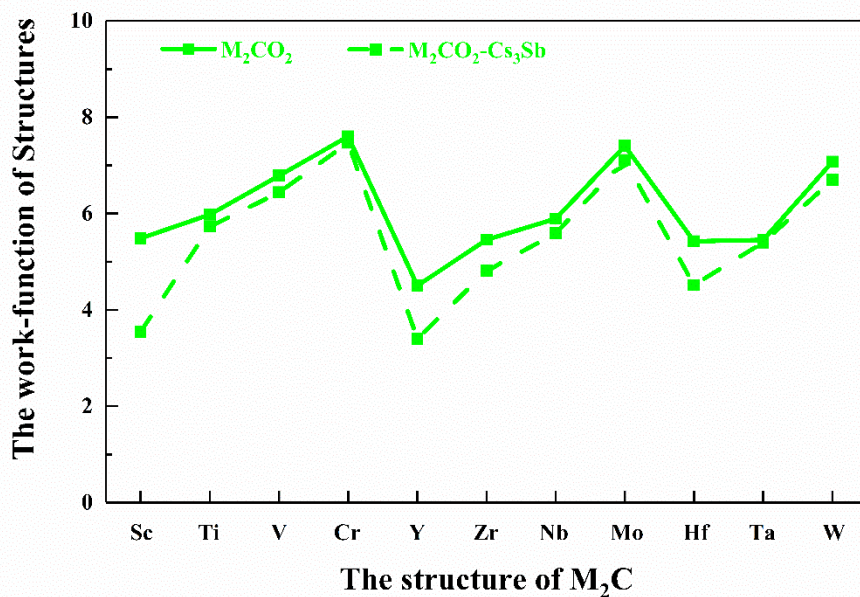


图 S2 M<sub>2</sub>CO<sub>2</sub>/M<sub>2</sub>CO<sub>2</sub>-Cs<sub>3</sub>Sb结构的功函数随原子序数变化图

Fig. S2. Work-function of M<sub>2</sub>CO<sub>2</sub> and M<sub>2</sub>CO<sub>2</sub>-Cs<sub>3</sub>Sb structure vary with element number.

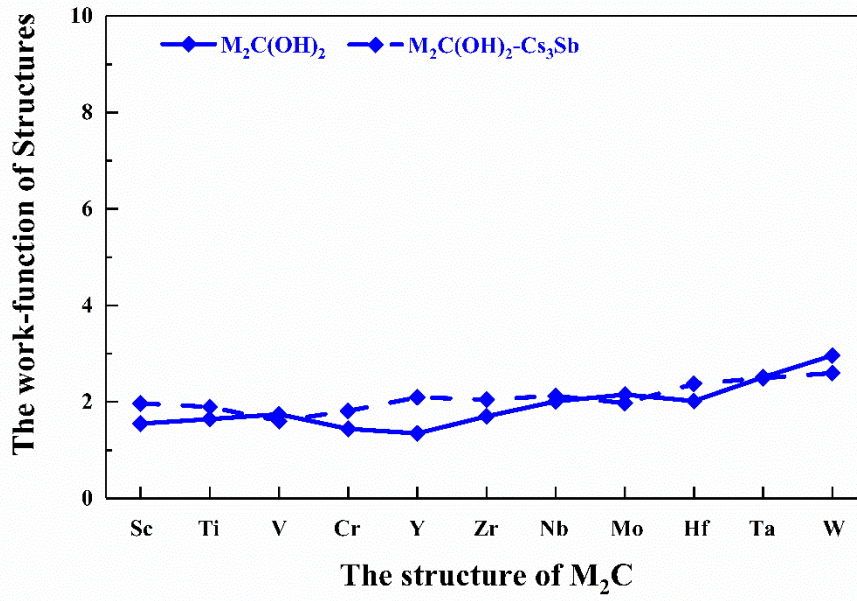


图 S3 M<sub>2</sub>C(OH)<sub>2</sub>/M<sub>2</sub>C(OH)<sub>2</sub>-Cs<sub>3</sub>Sb结构的功函数随原子序数变化图

Fig. S3. Work-function of M<sub>2</sub>C(OH)<sub>2</sub> and M<sub>2</sub>C(OH)<sub>2</sub>-Cs<sub>3</sub>Sb structure vary with element number.

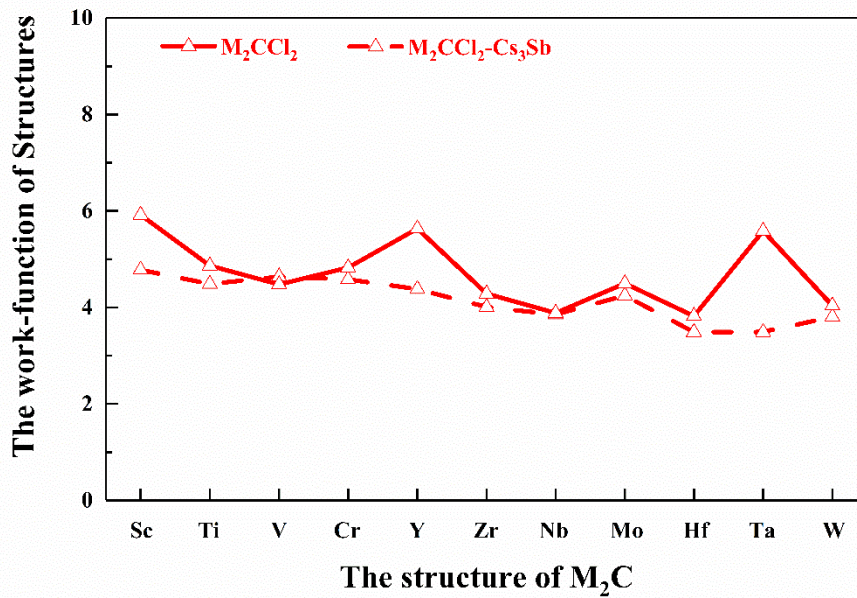


图 S4 M<sub>2</sub>CCl<sub>2</sub>/M<sub>2</sub>CCl<sub>2</sub>-Cs<sub>3</sub>Sb结构的功函数随原子序数变化图

Fig. S4. Work-function of M<sub>2</sub>CCl<sub>2</sub> and M<sub>2</sub>CCl<sub>2</sub>-Cs<sub>3</sub>Sb structure vary with element number.



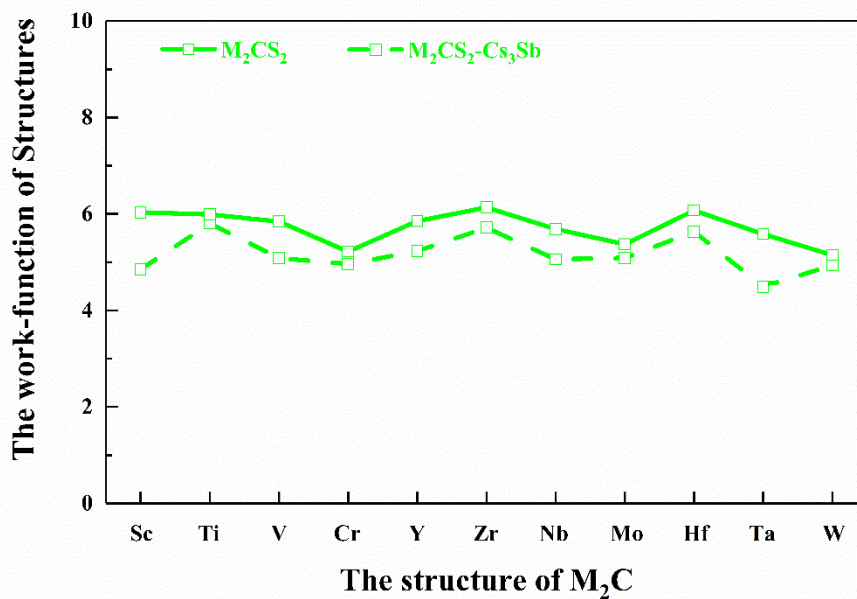


图 S5  $M_2CS_2/M_2CS_2-Cs_3Sb$ 结构的功函数随原子序数变化图

Fig. S5. Work-function of  $M_2CS_2$  and  $M_2CS_2-Cs_3Sb$  structure vary with element number.

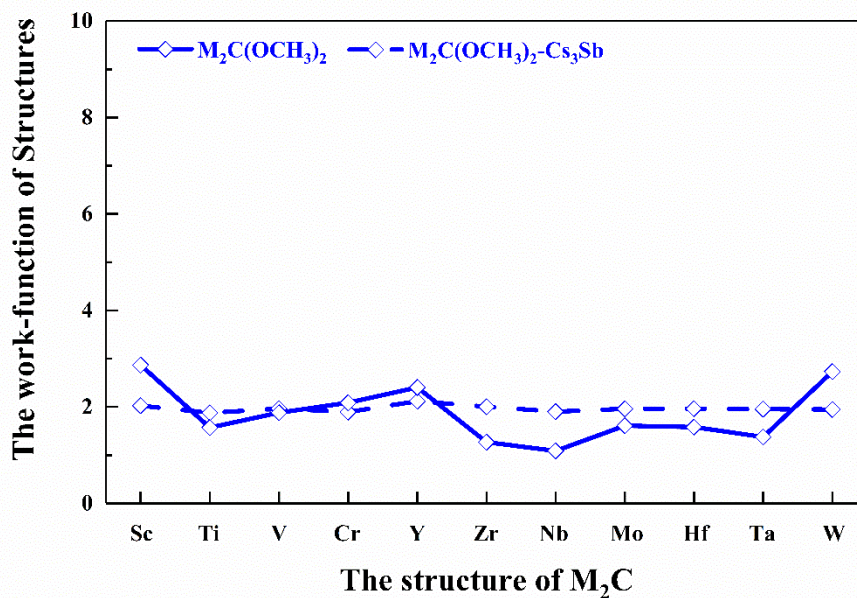


图 S6  $M_2C(OCH_3)_2/M_2C(OCH_3)_2-Cs_3Sb$ 结构的功函数随原子序数变化图

Fig. S6. Work-function of  $M_2C(OCH_3)_2$  and  $M_2C(OCH_3)_2-Cs_3Sb$  structure vary with element number.

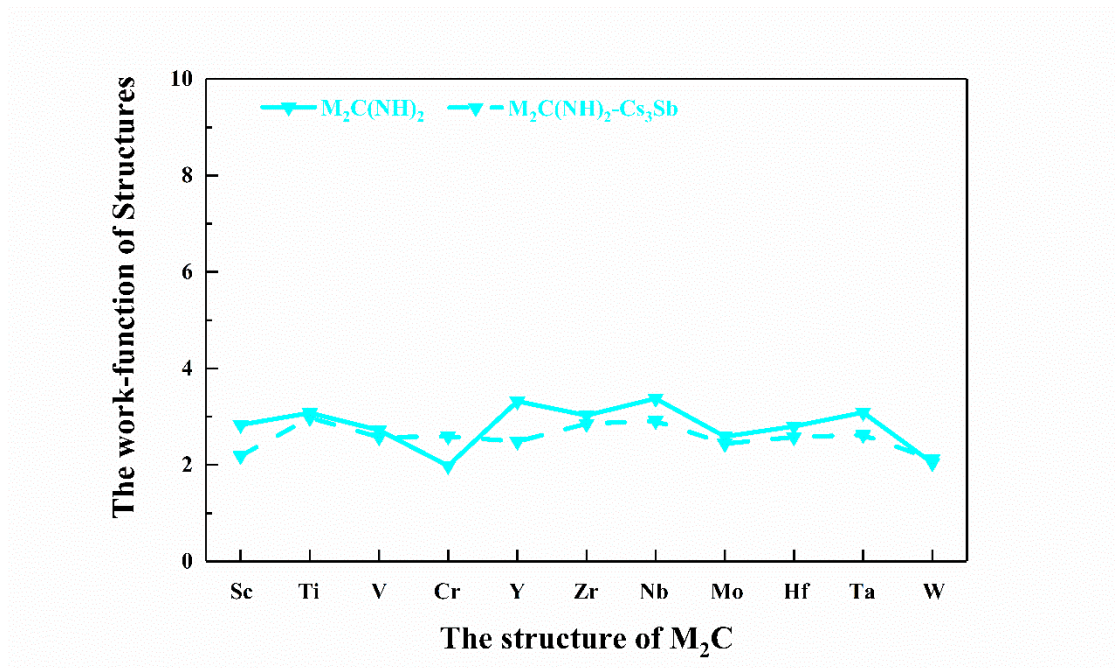


图 S7  $M_2C(NH)_2/M_2C(NH)_2-Cs_3Sb$ 结构的功函数随原子序数变化图

Fig. S7. Work-function of  $M_2C(NH)_2$  and  $M_2C(NH)_2-Cs_3Sb$  structure vary with element number.

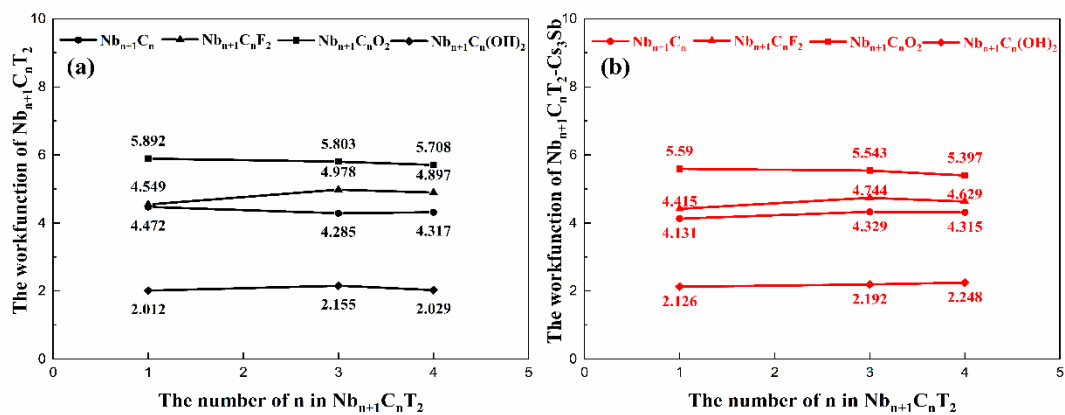


图 S8  $Nb_{n+1}C_nT_2$  ( $n = 1, 3, 4$ )结构(a)和 $Nb_{n+1}C_nT_2-Cs_3Sb$ 结构(b)的功函数随Nb/C原子比例变化

图

Fig. S8. Work-function of  $Nb_{n+1}C_nT_2$  ( $n = 1, 3, 4$ ) and  $Nb_{n+1}C_nT_2-Cs_3Sb$  structure vary with the ratio of Nb and C atom, shown in subgraph (a) and subgraph (b).

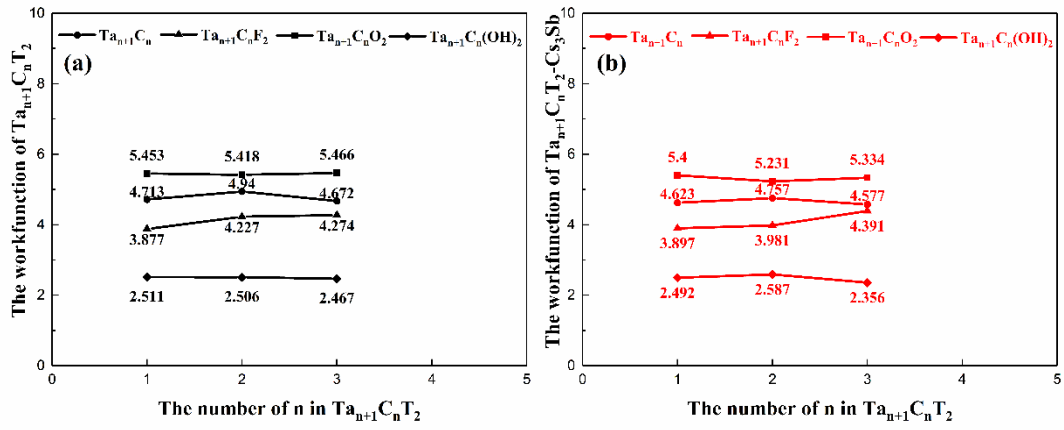


图 S9 Ta<sub>n+1</sub>C<sub>n</sub>T<sub>2</sub>(n = 1, 2, 3)结构(a)和Ta<sub>n+1</sub>C<sub>n</sub>T<sub>2</sub>-Cs<sub>3</sub>Sb结构(b)的功函数随Ta/C原子比例变化图

Fig. S9. Work-function of Ta<sub>n+1</sub>C<sub>n</sub>T<sub>2</sub>(n = 1, 2, 3) and Ta<sub>n+1</sub>C<sub>n</sub>T<sub>2</sub>-Cs<sub>3</sub>Sb structure vary with the ratio of Ta and C atom, shown in subgraph (a) and subgraph (b).

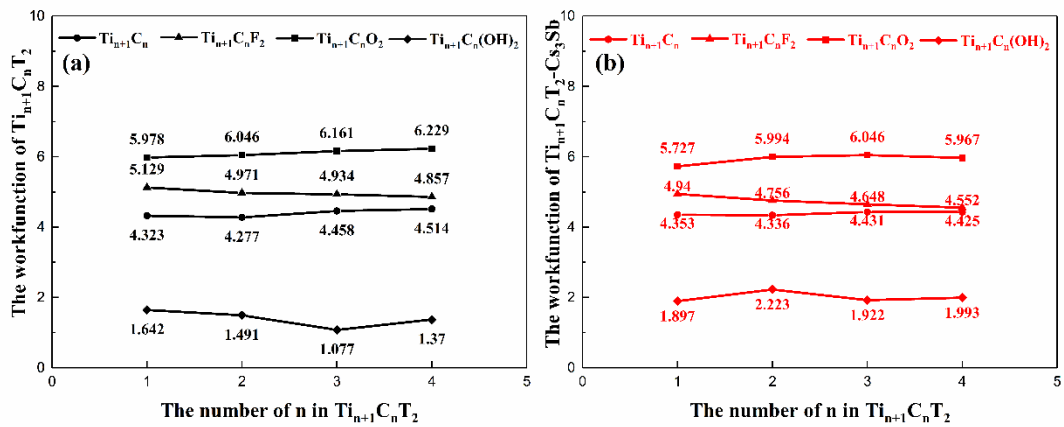


图 S10 Ti<sub>n+1</sub>C<sub>n</sub>T<sub>2</sub>(n = 1, 2, 3, 4)结构(a)和Ti<sub>n+1</sub>C<sub>n</sub>T<sub>2</sub>-Cs<sub>3</sub>Sb结构(b)的功函数随Ti/C原子比例变化

图

Fig. S10. Work-function of Ti<sub>n+1</sub>C<sub>n</sub>T<sub>2</sub> (n = 1, 2, 3, 4) and Ti<sub>n+1</sub>C<sub>n</sub>T<sub>2</sub>-Cs<sub>3</sub>Sb structure vary with the ratio of Ti and C atom, shown in subgraph (a) and subgraph (b).

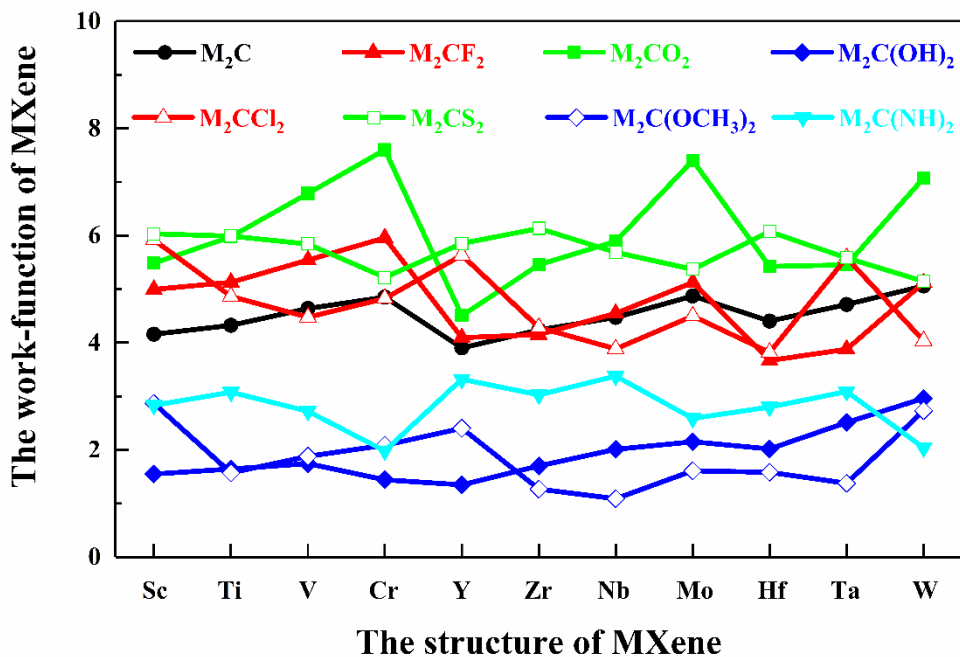


图 S11  $M_2CT_2$ 结构的功函数随M原子变化图。

Fig. S11. Work-function of  $M_2CT_2$  structure vary with element number.

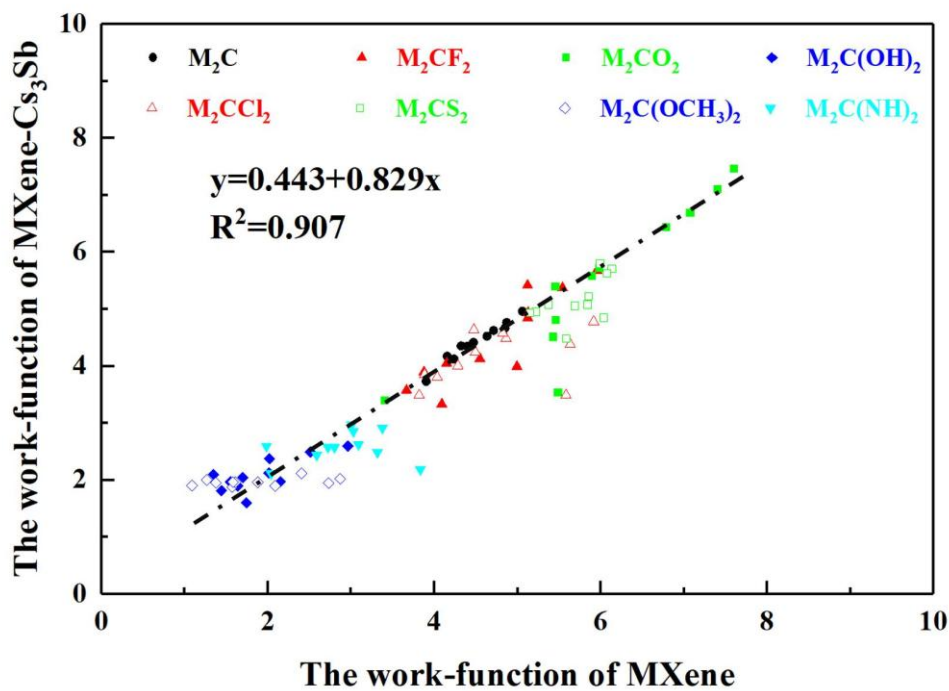


图 S12  $M_2CT_2$ - $Cs_3Sb$ 结构的功函数随 $M_2CT_2$ 结构功函数的变化图

Fig.S12. Relationship between the work-function of  $M_2CT_2$ - $Cs_3Sb$  and the work-function ( $W$ ) of

$M_2CT_2$ .

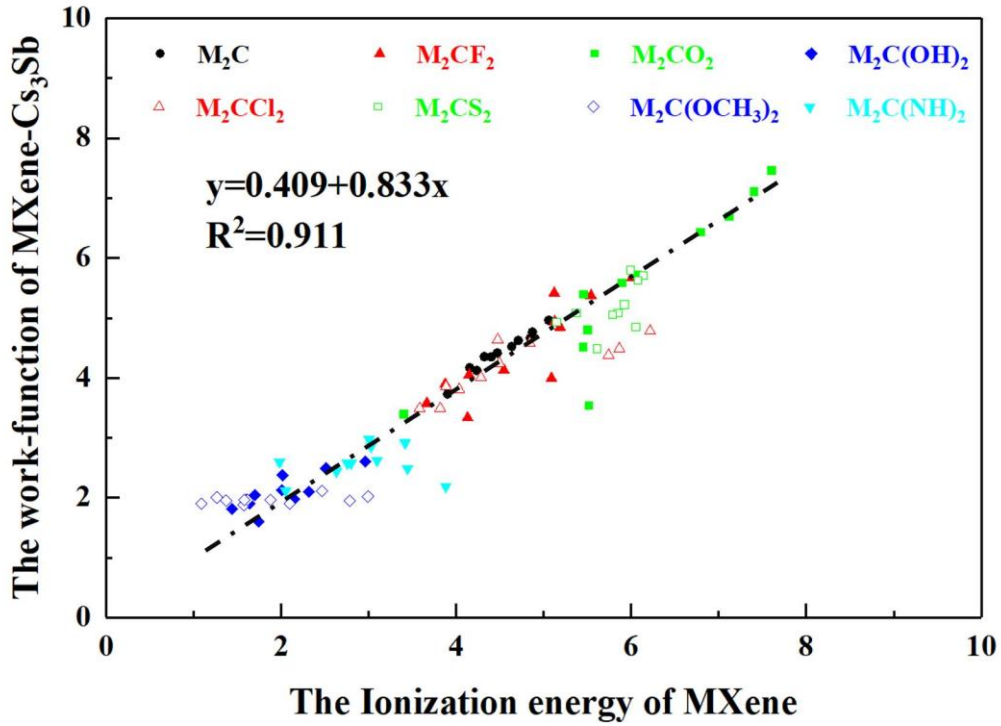
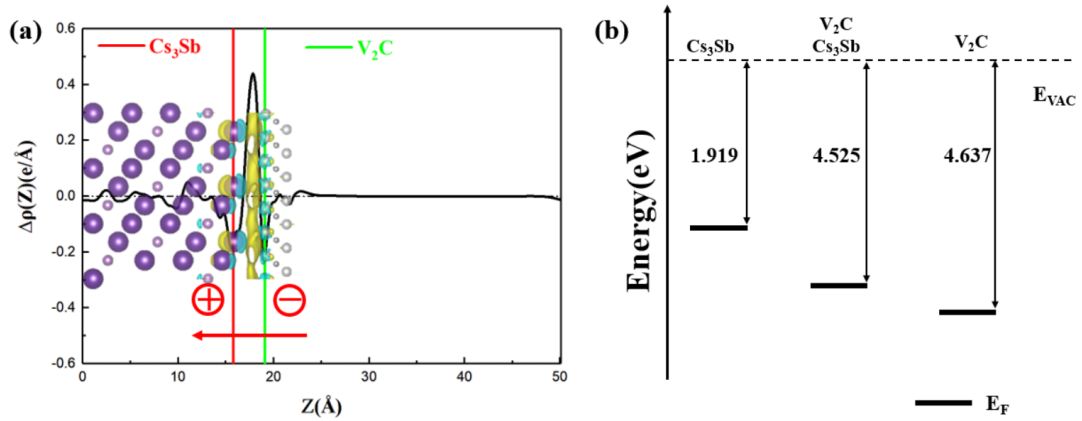


图 S13  $M_2CT_2$ - $Cs_3Sb$ 结构的功函数随 $M_2CT_2$ 结构的电离能(IP)变化图

Fig.S13. Relationship between the work-function of  $M_2CT_2$ - $Cs_3Sb$  and the ionization energy (IP) of  $M_2CT_2$ .



图S 14  $V_2C$ - $Cs_3Sb$ 异质结的差分电荷密度图(a)和能级校正分析示意图(b), 等值面设为0.001

$e/\text{bohr}^3$

Figure. S14. Charge density difference and band alignment of  $V_2C$ - $Cs_3Sb$  structures, shown in

subgraph (a) and (b), the isosurface value is set to  $0.001 e/\text{bohr}^3$ .



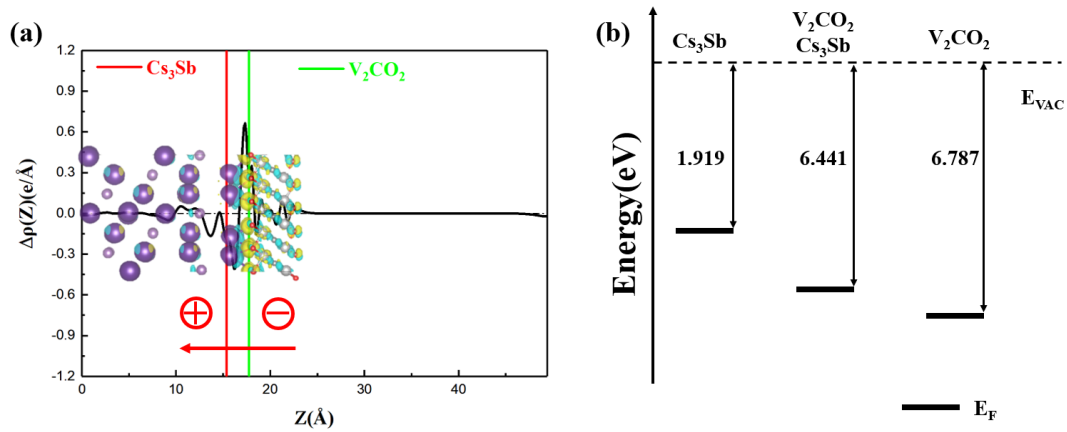


图 S15  $\text{V}_2\text{CO}_2\text{-Cs}_3\text{Sb}$  异质结的差分电荷密度图(a)和能级校正分析示意图(b), 等值面设为

$0.003 e/\text{bohr}^3$

Figure. S15. Charge density difference and band alignment of  $\text{V}_2\text{CO}_2\text{-Cs}_3\text{Sb}$  structures, shown in

subgraph (a) and (b), the isosurface value is set to  $0.003 e/\text{bohr}^3$ .

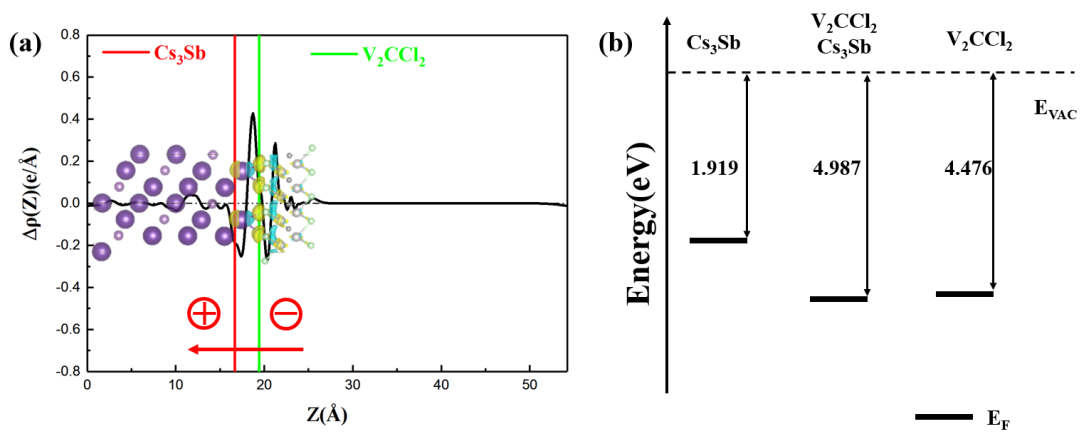
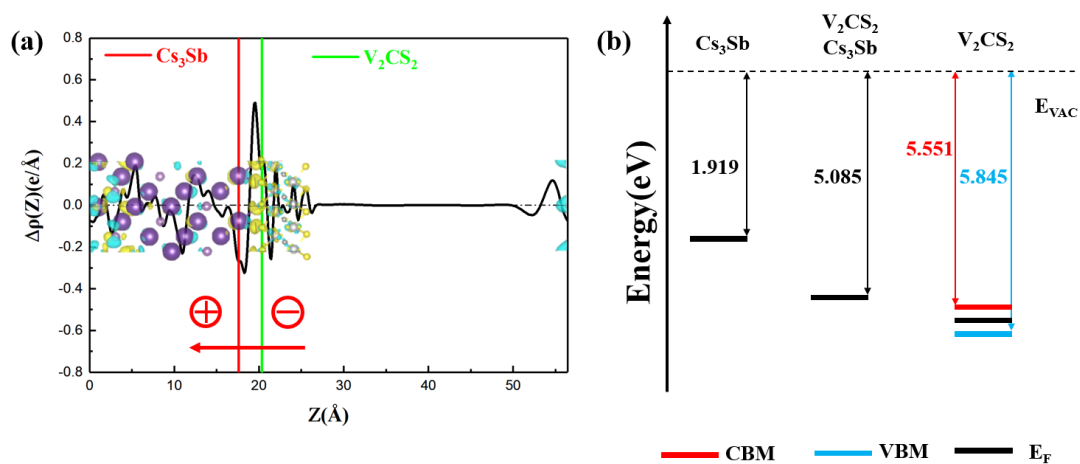


图 S16  $\text{V}_2\text{CCl}_2\text{-Cs}_3\text{Sb}$  异质结的差分电荷密度图(a)和能级校正分析示意图(b), 等值面设为

$0.001 e/\text{bohr}^3$

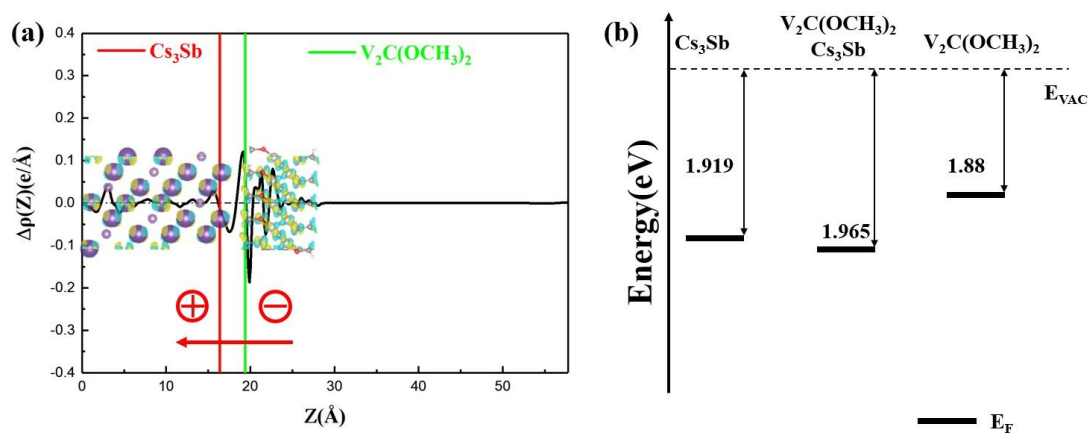
Figure. S16. Charge density difference and band alignment of  $\text{V}_2\text{CCl}_2\text{-Cs}_3\text{Sb}$  structures, shown in

subgraph (a) and (b), the isosurface value is set to  $0.001 e/\text{bohr}^3$ .



图S 17  $\text{V}_2\text{CS}_2$ - $\text{Cs}_3\text{Sb}$ 异质结的差分电荷密度图(a)和能级校正分析示意图(b)，等值面设为  $0.0015 e/\text{bohr}^3$

Figure. S17. Charge density difference and band alignment of  $\text{V}_2\text{CS}_2$ - $\text{Cs}_3\text{Sb}$  structures, shown in subgraph (a) and (b), the isosurface value is set to  $0.0015 e/\text{bohr}^3$ .



图S 18  $\text{V}_2\text{C}(\text{OCH}_3)_2$ - $\text{Cs}_3\text{Sb}$ 异质结的差分电荷密度图(a)和能级校正分析示意图(b)，等值面设为  $0.002 e/\text{bohr}^3$

Figure. S18. Charge density difference and band alignment of  $\text{V}_2\text{C}(\text{OCH}_3)_2$ - $\text{Cs}_3\text{Sb}$  structures, shown in subgraph (a) and (b), the isosurface value is set to  $0.002 e/\text{bohr}^3$ .

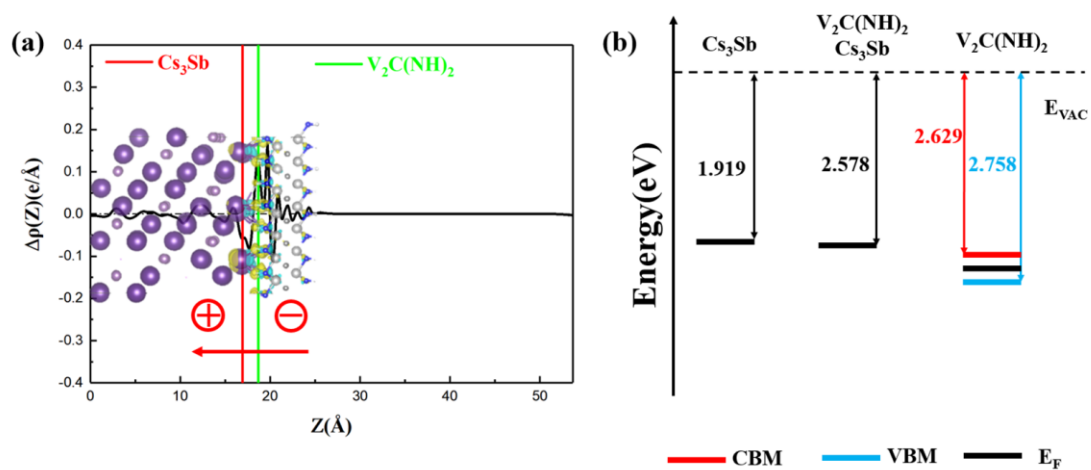


图 S19  $V_2C(NH)_2$ - $Cs_3Sb$  异质结的差分电荷密度图(a)和能级校正分析示意图(b), 等值面设为

$$0.0015 \text{ e/bohr}^3$$

Figure. S19. Charge density difference and band alignment of  $V_2C(NH)_2$ - $Cs_3Sb$  structures, shown

in subgraph (a) and (b), the isosurface value is set to  $0.0015 \text{ e/bohr}^3$ .